

Ostatnia kwestią jest wyznaczenie prędkości $U(x)$ na zewnętrznej granicy ruchu płynu fizycznego.



Oficjalnie, jeśli już wspomniano, nie ma ruchu płynu fizycznego lepiej niż płynie nie odgrywa żadnej roli.

Uproszczone badanie zakładające brak lepkości płynu ruchu płynu fizycznego...

Skoro tyle, to z obowiązującego nam równania Eulera wynika równanie Bernoulliego. Zależność: jeśli pole opływanym konturem ruch jest jednorodny, to znaczy prędkość jest wzdłuż tego samego (tj. o ten fragment obron, z którym wychodzą linie prądu) systematycznie w obiektu opływanego (konturze) i, skołkowo, ciśnienie jest też wzdłuż jednorodne, to stąd Bernoulliego jest, że w wzdłużnych liniach prądu jest jednorodne. A więc ruch wzdłuż konturu jest bezwirowy: $\operatorname{rot} \vec{V} = 0$. Tym samym stwierdzamy, że istnieje potencjał prędkości φ i prędkość jest gradientem tego potencjału:

$$\vec{V} = \operatorname{grad} \varphi$$

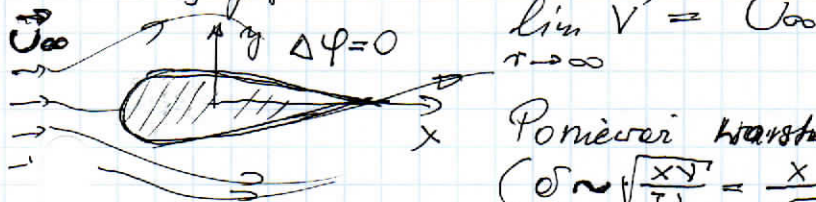
Pole \vec{V} musi spełniać równanie ciągłości $\operatorname{div} \vec{V} = 0$.

Podstawiamy do \vec{V} i otrzymujemy równanie Laplace'a:

$$\operatorname{div} \operatorname{grad} \varphi = \Delta \varphi = \left(\frac{\partial^2}{\partial x^2} + \frac{\partial^2}{\partial y^2} \right) \varphi = 0$$

Funkcje spełniające równanie Laplace'a jest nazywane "funkcjami harmonicznymi".

Dalej o dalszej opływanego konturu znamy (złożonemu,że znany) stan prędkości:



$\lim_{r \rightarrow \infty} \vec{V} = \vec{V}_{\infty}$

X Ponieważ warstwa płynu fizycznego jest cienka ($\delta \sim \sqrt{\frac{xy}{U}} = \frac{x}{\sqrt{R_x}}$) to, przy wielkich R_x

zmiast stercie warstek biegących na zewnętrznej granicy warstwy przyjmujemy, że na konturze.

Składająca normalna prędkości jest zerowa

$$V_n = \vec{n} \cdot \vec{V} = \vec{n} \cdot \operatorname{grad} \varphi = \frac{\partial \varphi}{\partial n} \Big|_{\text{kont.}} = 0$$

Teraz rozpatrujemy zgodnie: $\Delta \varphi = 0$, $\operatorname{grad} \varphi \parallel \vec{V}_{\infty}$, $\frac{\partial \varphi}{\partial n} \Big|_{\text{kont.}} = 0$ i wyznaczamy wartość prędkości na konturze.

To skrócona styczna prędkości (bo $V_n = 0$). Teraz - uznamy, że jest to prędkość na zewnętrznej granicy warstwy ...

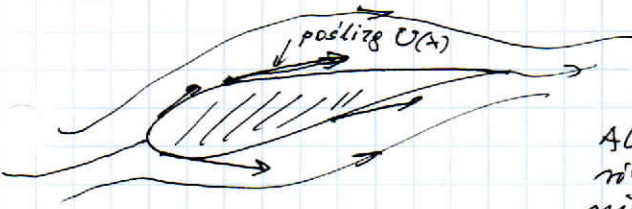
Relejacyjny. (I) Odrzucamy warstwę

(II) wyznaczamy ruch potencjalny w zewnętrznej konturze

(III) skrócona styczna prędkości uznajemy za $U(x)$ - prędkość na zewnętrznej granicy warstwy.

Przyber lepkości striga się po opływanym konturze. Skrócone styczne $U(x)$ to prędkość posiadająca tą samą.

WAŻNE!



Oczywiście, że powstanie tą bieg. Dlatego, że reaktywna granica jest tworzy innego konturu, niż kontur w jasności. Ale - dla wielu liczb Reynolda - różnic jest znikoma. Wprowadzone zmiany nie jest znaczące.

Mimo dodania ponownego wyrażenie ruchu potencjalnego pogrubi się i po konturze δ^* . Nie spowoduje to istotnej zmiany.

Powróćmy do wyrażenia potencjału φ . Dolek od konturu $\vec{V} \rightarrow \vec{U}_\infty$. Poniżej $\vec{U}_\infty = \text{grad}(\vec{U}_\infty \cdot \vec{r}) = \vec{e}_i \frac{\partial}{\partial x_i} (U_{\infty k} x_k) = \vec{e}_i U_{\infty k} \delta_{ki} = \vec{e}_i U_{\infty i}$, bo

$$\varphi = \vec{U}_\infty \cdot \vec{r} + \text{potencjał o pochodnych znikających w } \infty.$$

Jasne, że $\vec{U}_\infty \cdot \vec{r}$ spełnia równanie Laplace'a. Potencjał o pochodnych znikających musi też spełnić to równanie.

Rozważmy dwa proste potencjały: $\varphi = \Omega = \arctg(y/x)$ i $\varphi = \ln r$. Przedstawimy ich, że obydwa te funkcje są harmoniczne, tzn. $\Delta \varphi = 0$ w obu przypadkach. Wystarczy wybrać odpowiednie bieguniwości. Jest taki:

$$\Delta = \frac{\partial^2}{\partial x^2} + \frac{\partial^2}{\partial y^2} = \frac{1}{r} \frac{\partial}{\partial r} r \frac{\partial}{\partial r} + \frac{1}{r^2} \frac{\partial^2}{\partial \theta^2}$$

Funkcje $\varphi = \Omega$ oczywiście spełniają równanie Laplace'a. Dopuszczamy, że $r=0$, gdyż logarytm nie jest określony.

Obliczymy pochodną: $\text{grad}(\ln r) = \left(\vec{e}_1 \frac{\partial r}{\partial x} + \vec{e}_2 \frac{\partial r}{\partial y} \right) \frac{1}{r}$.

$$\text{Ponieważ } \frac{\partial r}{\partial x_i} = \frac{\partial}{\partial x_i} \sqrt{x_1^2 + x_2^2} = \frac{1}{2} \cdot \frac{1}{r} \cdot 2x_i, \text{ a więc}$$

$$V_x = \frac{x}{r^2} \text{ i } V_y = \frac{y}{r^2}. |V|^2 = V_x^2 + V_y^2 = \frac{x^2 + y^2}{r^4} = \frac{1}{r^2}$$

Pochodnicie zmika w nieliniowości. Jest po prostu $V = |V| = \frac{1}{r}$

W drugim przypadku jest podobnie:

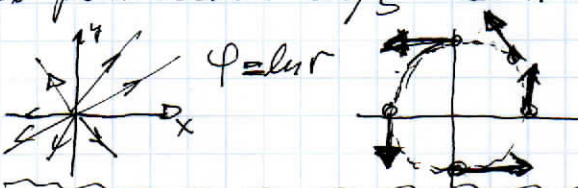
$$\vec{V} = \text{grad}(\arctg \frac{y}{x}) = \left(\vec{e}_1 \frac{\partial}{\partial x} + \vec{e}_2 \frac{\partial}{\partial y} \right) \arctg \frac{y}{x} = \vec{e}_1 \frac{-y}{r^2} + \vec{e}_2 \frac{x}{r^2}$$

co oznacza, że

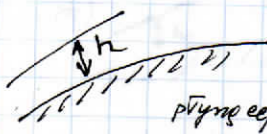
$$V_x = -\frac{y}{r^2} \text{ i } V_y = \frac{x}{r^2}. V = |V| = \frac{1}{r} \text{ jest niezdolny.}$$

Widzimy pod uwagę kąt, jeśli jest tworzący pierwotną wektor \vec{V} : osi OX :

$\gamma = \arctg \frac{V_y}{V_x}$. W pierwszym przypadku mamy $\gamma = \arctg \frac{y}{x} = \Theta$ a w drugim $\gamma = -\arctg \frac{y}{x}$. Tato zauważycie, że obydwa kompleksy po pomnożeniu odczągają się. A więc kierunki pochodnicie są prostokątne...



Pierwszy przypadek to ZRÓDŁO
Drugi - WIR POTENCJALNY



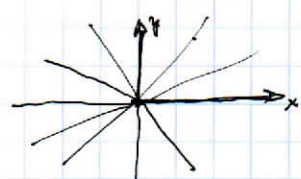
Wydrukżej, jaka jest pochodnicie? U nasz pogrubienie: wydrukżej pochodnicie pierwotne jest zastąpione wydrukem który był u nasz pierwotne pochodnicie U : $U \cdot h + \int_U dy = \int_U U dy \Rightarrow h = \int_U (U - \bar{U}) dy = 0$

Dla obydwu wypadkowych przypadków trywialnie mamy zawsze linie propelu.

(To linie, do których styczne są wektory pola propelerskiego.)

91/14

Jesli $\varphi = \ln r$, to linie propelu są prostymi $\Theta = \text{const}$. Wtedy z lewej, iż linie nie których potencjał jest stały, to $\ln r = \text{const} \rightarrow r = \text{const}$ ($r > 0$!). Są ortogonalne do linii propelu.



linie propelu alle potencjału liniowego

To ogólnie dobrze, bo stany potencjału $\varphi = \text{const}$ to $d\varphi = 0$.

A przeciwnie

$$d\varphi = \frac{\partial \varphi}{\partial x} dx + \frac{\partial \varphi}{\partial y} dy = V_x dx + V_y dy,$$

$$\text{i otrzymamy: } \frac{\partial \varphi}{\partial x} = - \frac{V_x}{V_y}.$$

Linia propela jest określona przez równanie

$$\frac{\partial \varphi}{\partial x} = \frac{V_y}{V_x} \quad (\text{bo wektor } \vec{V} \text{ jest dwudzienny})$$

$$\text{Iloczyn } \left. \frac{\partial y}{\partial x} \right|_{\varphi=\text{const}} \cdot \left. \frac{\partial x}{\partial y} \right|_{\varphi=\text{const}} = -1 \text{ oznacza ortogonalność!}$$

W drugim przypadku jest - jak widać - faktycznie: linie stojącego potencjału to proste $\Theta = \text{const}$, a linie propelu są okręgiem $r = \text{const}$.

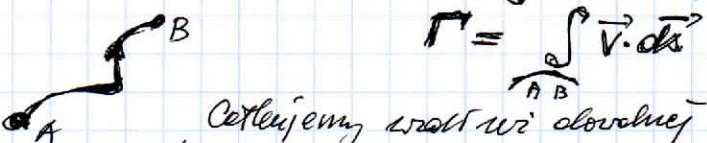
Czytelnik z Tekturiczą strony, że poniżej linie otaczające żrądcę prynie wydrukują. Dla okręgu otaczającego żrądecę:

$$Q = \oint \vec{m} \cdot \vec{V} ds = \oint \left(\frac{x}{r} \cdot \frac{x}{r^2} + \frac{y}{r} \cdot \frac{y}{r^2} \right) r dr = \oint dr = 2\pi$$

nie mały od centrum tej zanikającej linii. *)

W drugim przypadku wydrukach jest organizm zera.

Wartość wielkością jest **CYRKULACJA**. To taka wielkość:

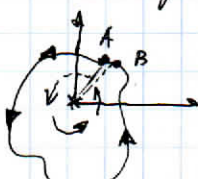


$$\Gamma = \oint \vec{V} \cdot d\vec{s}$$

Czytujemy wokół wierzchołek linii \overline{AB} . Ponieważ $\vec{V} \cdot d\vec{s} = V_x dx + V_y dy$
to:

$$\Gamma = \int_{AB} V_x dx + V_y dy = \int_{AB} d\varphi = \varphi(B) - \varphi(A).$$

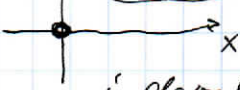
Adając cyrkulację dla linii otaczającej **WIR** potencjalny. Jest:



$$\Gamma = \varphi(B) - \varphi(A) = \int_{\text{pole}} d\varphi = 2\pi.$$

Jesli linie \overline{AB} nie otaczają punktu $r=0$ w którym występuje określoność wiru (propelerski jest dozwolony!) to organizm $\Gamma = 0$.

$$\begin{aligned} \text{Dowód: } \oint \vec{V} \cdot d\vec{s} &= \oint V_x dx + V_y dy = \iint \left(\frac{\partial V_y}{\partial x} - \frac{\partial V_x}{\partial y} \right) dA \\ &= \iint \text{rot } \vec{V} dA = \iint \left(\frac{\partial^2 \varphi}{\partial y^2} - \frac{\partial^2 \varphi}{\partial x^2} \right) dA \stackrel{\text{pole}}{=} 0. \end{aligned}$$



Rechnując tu połączymy dary dozwolnego potencjału i dozwolonego potencjału w obrębie potencjału w obrębie wektorów zanikających linii.

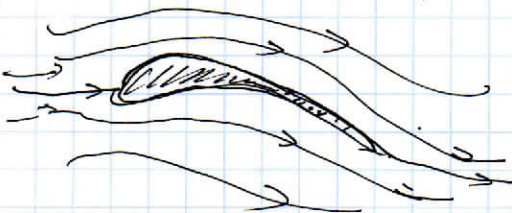
WIR potencjalny ma określoność w $r=0$ i w punkcie tym nie mała zasada rozdrobnienia. Stąd też faktycznie jest to organizm powyżej.

*) Okreg. Porównajmy obie powyższe dozwolne linie (zwykłe): obiegimy je otaczającym tycznikiem tych linii obliczymy wejście. $\oint \vec{n} \cdot \vec{V} ds = \int_{\text{zg}] \vec{n} \cdot \vec{V} ds + \int_{\text{tyczni} \vec{n} \cdot \vec{V} ds + \int_{\text{zg}[} \vec{n} \cdot \vec{V} ds = \int_{\text{zg} \vec{n} \cdot \vec{V} ds + \int_{\text{zg}[} \vec{n} \cdot \vec{V} ds$.

Ale $\int_{\text{zg} \vec{n} \cdot \vec{V} ds = \iint_{\text{pole}} \text{div } \vec{V} dA = 0$. Tym samym $\int_{\text{zg} \vec{n} \cdot \vec{V} ds} + \int_{\text{zg}[} \vec{n} \cdot \vec{V} ds = 0$. A tu zasada spójności! $\int_{\text{zg} \vec{n} \cdot \vec{V} ds} = \int_{\text{zg}[} \vec{n} \cdot \vec{V} ds$. Koniec dowodu.

W obiegu pionowych przykrościach powstaje znikoć dla $r \rightarrow \infty$.

Potencjał dla opływu konturu typu "profil płaski" lub "profil Topotka" może mieć postać:



$$\varphi = \vec{U}_\infty \cdot \vec{r} + \frac{\Gamma}{2\pi} \Theta + \varphi_*(x, y)$$

Trzeci składnik to funkcja harmoniczna ($\Delta \varphi_* = 0$) o pochodnych znikających w nieskończoności, tzn. $\lim_{|y| \rightarrow \infty} \frac{\partial \varphi_*}{\partial y} = 0$. Bo pochodne dalsze stoczników $\frac{\partial^2 \varphi_*}{\partial y^2}$ zmieniają się $\sim 1/r$.

Aby wyrazić φ_* – znikającą w nieskończoności – pochodnymi lewej strony powłoki w nieskończoności – formułujemy rozkład:

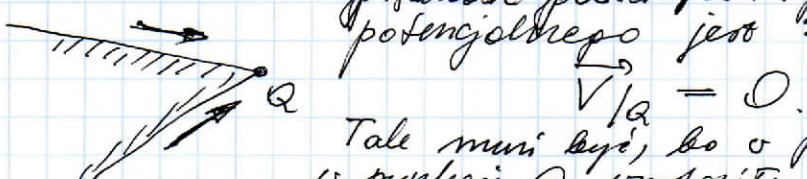
$$\Delta \varphi_* = 0, \quad \left. \frac{\partial \varphi_*}{\partial n} \right|_{\text{kontur}} = - \left(\vec{U}_\infty \cdot \frac{\partial \vec{r}}{\partial n} + \frac{\Gamma}{2\pi} \frac{\partial \Theta}{\partial n} \right)_{\text{kontur}}$$

Innymi słowy: szukamy funkcji spełniającej równanie Laplace'a $\Delta \varphi_* = 0$ w rejonie rozkładu konturu, która na tym konturze realizuje warunki brzegowe napisane na powierzchnię normalną (patrz str. 12).

Taki rozkład dla funkcji harmonicznej to **Zagadnienie Neumann'a**. Jest to jasne z standardowych rozkładów funkcji matematycznej. Metoda japońska jest wiele. Dla okrągłego konturu – są do metody nienależące.

Czytelnik zauważał, że nie określiliśmy jeszcze wartości stałej Γ . O ile postulet prawdziwy dla tego jest prosty:

w koniczym, ostrym "czerwku" konturu prędkość pośrednia wynikająca z ruchu potencjalnego jest zerem:



Tale mniemy, bo o precyzyjnym wyjaśleniu w punkcie Q wystąpiły by dwie różne wektory prędkości. O różnych kierunkach.

Postulat ten nazywany jest "hipotezą Kutty - Zukowskiego".

Stała Γ trzeba wyznaczyć z warunkiem znikania prędkości w ostrzu. (Czytelnik może spotkać paranoicznego pręgniecia nawiązania

"ostrze o węższej stronej" – tzn. iż na ostrzu obole.

Taki "obiekt materialny" oczywiście nie może istnieć. Nie warto więc rozwijać, co by było, gdyby było...*)



Jeliż z kolei koniec czerwka kontura jest porowana ostrze, to napiszmy pojęcie powłoki symetrycznej hipotezę postulującą oż. znikanie prędkości w miejscu o największej kryzysowości.

Jest to analogia postulatu nieprawidłowości kryzysowej w robaninie konturu formułuującego zw. ostrze.

Koniec odchylony, iż w punktach obracających się Q nazywanych krawędziarni spływu wysunute jest rozwarcie o punkcie spływu na prostej konturów zw. zerową linią przedu.

*) Prędkość w koniuszku spływu klimatu po obu stronach powinna być taka sama....

Wróćmy na moment do wyrażenia przedstawiającego potencjał φ (st. 15) 93/16

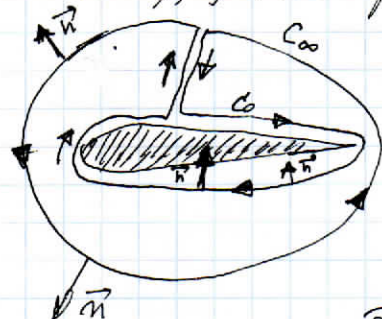
Najpierw pole:

$$\varphi = \vec{U}_\infty \cdot \vec{r} + \frac{P}{2\pi} \Omega + \varphi_t(x, y)$$

Nie występuje tu potencjał lepiontomiczny. Taki potencjał generuje pole przekształcające w nieleśniczącą (tak, jak potencjał Ω). To pole zmniejsza ją 1/r. A więc - nie zatrzyme ruchu z przekształceniem. To jeśli jest obokokościelny kontur.

Tyle, że jest to potencjał określający średni \bar{V} . Działanie albo aktywne. Jeżeli z niską. To oznacza, że nie będzie zachowane mase (czy dalej), bo dla każdej zamkniętej linii określającej kontur występuje niezerowy strumień prądu.

Na podstawie przedstawionego wyżej potencjału mamy obliczyć siłę określającą na obrzeżym konturze.



Nie występuje lepiont. A więc siła określająca na polowanych linijkach wyniesie jedynie z wyników ciśnienia. Zauważmy, że określająca nie płynie - a siła określająca na konturze będzie do niej precyjna. Pisząc równanie całkowitego Eulera-Rücka jest tutaj taka: $\int_C (\frac{\partial}{\partial x} (V_x \bar{V}) + \frac{\partial}{\partial y} (V_y \bar{V}) + g \rho \bar{p}) ds = 0$.

Czytujemy w obu częściach pośrodku tycznikami, linię C_0 i linię C_{00} . Następnie stwarzamy fizyczne równanie GGO. To znaczy: przedstawiamy na obu rozprzestrzenionych połoważnych normalach na odpowiadające one:

$$\oint (n_x V_x + n_y V_y) \bar{V} ds + \oint (n_x \bar{e}_x + n_y \bar{e}_y) \bar{p} ds = 0$$

Znaki \square w częściach oznaczają całkowanie wzdłuż C_{00} , tyczników i C_0 .

Ciągi wrotki formułują znaczący - to oznacza, że o precyjnych kątach.

Widzimy też, że $n_x V_x + n_y V_y = V_n$. Dalej: $n_x \bar{e}_x + n_y \bar{e}_y = \bar{n}$. A więc jest taki:

$$\oint_{C_0} \rho V_n \bar{V} ds + \oint_{C_{00}} \rho V_n \bar{V} ds + \oint_C \bar{n} \bar{p} ds + \oint_{C_{00}} \bar{n} \bar{p} ds = 0$$

Na konturze - do którego dotyka "sciągnięta" linia C_0 strzałkowate normalne przekształcici V_n jest zerem:

$$V_n|_{C_0} = 0$$

Iloczyn $\bar{n} \bar{p}$ to elementarna siła określająca na odcinku ds konturu. Ciągi z tego wyniesie to siłę. A więc oznaczamy wynik taki:

$$-\vec{F} = \oint (\rho V_n \bar{V} + \bar{n} \bar{p}) ds.$$

Linia C_{00} jest równoległa do ogólnego konturu. Ma równoległy kontur. Wybieramy ją tak, by rekunek był prosty.

Jest taka wtedy, gdy C_{00} to okrąg o średnicy promienia.

* Jaki klasyczny wynikamy przedstawienie:

$$\frac{\partial}{\partial x} (\rho V_x \bar{V}) + \frac{\partial}{\partial y} (\rho V_y \bar{V}) = \rho V_x \frac{\partial \bar{V}}{\partial x} + \rho V_y \frac{\partial \bar{V}}{\partial y} + \bar{V} \left(\frac{\partial (\rho V_x)}{\partial x} + \frac{\partial (\rho V_y)}{\partial y} \right). \text{ Ale: } \frac{\partial}{\partial x} (\rho V_x) + \frac{\partial}{\partial y} (\rho V_y) = 0$$

Pozostaje jasne wykres ultrafioletowych. Znacząco prosty. Wybiernamy od ∞ i wobec \vec{E}_1 wielokrotnie kierunkiem wektora \vec{U}_{∞} . Wtedy $\vec{U}_{\infty} \cdot \vec{v} = U_{\infty} \cdot x$ (układamy to!) i potencjał φ jest taki:

$$\varphi = U_{\infty} x + \frac{\Gamma}{2\pi} \Theta(x, y) + \varphi_*(x, y)$$

Wyznaczamy składowe pochodnych. Współczynnik we okręgu Coo.

$$V_x = \frac{\partial \varphi}{\partial x} = U_{\infty} - \frac{\Gamma}{2\pi} \frac{y}{x^2 + y^2} + \frac{\partial \varphi_*}{\partial x} = U_{\infty} - \frac{\Gamma}{2\pi} \frac{\sin \theta}{r} + \frac{\partial \varphi_*}{\partial x}$$

$$V_y = \frac{\partial \varphi}{\partial y} = \frac{\Gamma}{2\pi} \frac{x}{x^2 + y^2} + \frac{\partial \varphi_*}{\partial y} = \frac{\Gamma}{2\pi} \frac{\cos \theta}{r} + \frac{\partial \varphi_*}{\partial y}$$

Pamiętamy, że pochodne $\frac{\partial \varphi_*}{\partial x}, \frac{\partial \varphi_*}{\partial y}$ zmieniają się dla $r \rightarrow \infty$ szybciej, niż $\sin \theta/r$. Na co to const/R. Z kolei składowe elementarnej wielkości ds to Rols: $ds = R d\theta$

Wielkość jest bardzo prosty: jeśli w wyniku pochodnych wystąpi skończone zmiany szybciej niż $\sin \theta/r$ – to po podstawieniu tali, jako $\frac{1}{r^{1+\alpha}}$ (albo mniejsze, ale tali, że $\frac{r}{f(r)} \rightarrow 0$ gdy $r \rightarrow \infty$) to, po pomnożeniu przez ds i podstawieniu $r = R$ oraz przejęcia $R \rightarrow \infty$ całka z tego skończonego zmienia.

A więc mówimy $V_m = \vec{V}$ dla składowych – po pominięciu pochodnych potencjału φ_* jest następujące:

$$V_m = V_x m_x + V_y m_y \approx V_x \cos \theta + V_y \sin \theta = (U_{\infty} - \frac{\Gamma}{2\pi} \frac{\sin \theta}{r}) \cos \theta + \frac{\Gamma}{2\pi} \frac{\cos \theta}{r} \sin \theta$$

czyli:

$$V_m = U_{\infty} \cdot \cos \theta$$

do $m_x = \cos \theta, m_y = \sin \theta$. Mnożymy obiegi:

$$\begin{aligned} g V_m - V_x &\approx g U_{\infty} \cos \theta \left(U_{\infty} - \frac{\Gamma}{2\pi} \frac{\sin \theta}{r} \right) = g U_{\infty}^2 \cos \theta + \frac{g U_{\infty} \Gamma \sin \theta \cos \theta}{2\pi r} \\ g V_m - V_y &\approx g U_{\infty} \cos \theta \cdot \frac{\Gamma}{2\pi} \frac{\cos \theta}{r} = \frac{g U_{\infty} \Gamma \cos^2 \theta}{2\pi r} \end{aligned}$$

Ciągły ciągnienie wywoła obliczenia p. Przemyśl równanie Bernoulli'ego:

$$g \frac{U_{\infty}^2}{2} + p_{\infty} = g (V_x^2 + V_y^2)/2 + p$$

Pamiętamy o pominięciu wyników zauważających mianowitki o wyodrębnionych potęgach θ . Pozostaje:

$$\frac{g U_{\infty}^2}{2} + p_{\infty} = g \left[U_{\infty}^2 - \frac{U_{\infty} \Gamma}{2\pi r} \sin \theta \right] / 2 + p$$

$$\text{i, wobec tego, } p = p_{\infty} + \frac{g U_{\infty} \Gamma}{2\pi r} \sin \theta$$

Składowe F_x siły jest następujące:

$$-F_x = \int_0^{2\pi} \left[g U_{\infty} \cos \theta + \frac{g U_{\infty} \Gamma \sin \theta \cos \theta}{2\pi r} + (p_{\infty} + \frac{g U_{\infty} \Gamma \sin \theta}{2\pi r}) \cos \theta \right] r d\theta$$

Ciągi typu $\int \cos \theta d\theta$ są zerem. Również całka zauważającej cosinus zmienia...

Stan stacjonarny: $F_x = 0$. Brak średowej "względowej" prędkości \vec{U}_{∞} .

To oznacza brak oporu. (Należy o tym tego opominać: brak torów oznacza zerową dysypację energii. A iloczyn $U_{\infty} \cdot F_x$ to dysypowane moc...)

Druge składowe jest następujące:

$$-F_y = \int_0^{2\pi} \left[\frac{g U_{\infty} \Gamma \cos^2 \theta}{2\pi r} + (p_{\infty} + \frac{g U_{\infty} \Gamma}{2\pi r} \sin \theta) \sin \theta \right] r d\theta = g U_{\infty} \Gamma$$

WAZNE!

Stosunkowo: $F_x = -\rho U_\infty \Gamma$. To stąd mamy siły przeciwnie do kierunku przelotu i Γ jest określony przez moment konturny.

Takie stąd mamy to **SILA NOŚNA**.

Dzięki niej samoloty latają, topotki sprawiają (i pompy) powodują wzrost ciśnienia, a topotki turbiny obracają mocą plynów przyniesionych.

Zauważmy, że dla $\Gamma = 0$ siły nie maja.

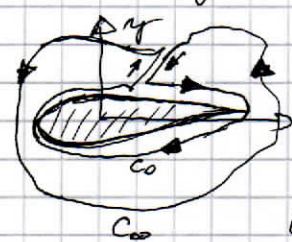
To znaczy DLA RUCHU BEZWIRUNKOWEGO (i dla płynu nieleplastycznego, z g = const) **BRAK "REAKCJI"**.

To **paradoxa Al'bererta** (także "to" mówiące...).
Jest taka również dla ruchu przestrzennego.

Aby uyskoczyć **silę nośną** – przeciwnie do kierunku wynoszącego pionu wektor \vec{F}_x przed, by w kolejnych częściach obracania ruchu był **wirujący**. (co najmniej w kolejnych częściach...)

Współczesne powodują je **dynamikę**, "wytwornie" opóźnione. Stąd mamy siły w kierunku \vec{U}_∞ to **sila oporu**. Jeśli mówiąc, mówiącą ją wywołującą stądżże teorię ruchu przestrzennego.

Zauważymy jeszcze, że cyrkulacja Γ może obliczyć dolinającą całkowitą po obracaniu kartu. Reklamuję doświadczenie tego faktu jest analogiczny do powtórzonych na str. 91/14 odrębnie wydruków.



\times Otoż, w obrębie poniższej linii C_0, C_0 : $\Gamma_{\text{symmetric}}$ ruch jest potencjalny, a więc $\frac{\partial v_y}{\partial x} - \frac{\partial v_x}{\partial y} = 0 = \text{rot } \vec{v}/\alpha_2 = 0$
Czyli mamy to w obrębie spłaszczenia cyrkulację...

$$0 = \iint \left(\frac{\partial v_y}{\partial x} - \frac{\partial v_x}{\partial y} \right) dS = \oint (v_x dx - v_y dy) = \int \vec{v} \cdot d\vec{s},$$

Cały C_0 Ujemnie.

Czyli obliczone "po Zgornikach" kończą się. Zarazże całkowanie na C_{∞} i C_0 są精确ne. A więc

$$\underbrace{\oint \vec{v} \cdot d\vec{s}}_{C_{\infty}} + \underbrace{\oint \vec{v} \cdot d\vec{s}}_{C_0} = 0 \rightarrow \underbrace{\oint \vec{v} \cdot d\vec{s}}_{C_{\infty}} = \underbrace{\oint \vec{v} \cdot d\vec{s}}_{C_0} = \Gamma$$

Jednakże, że $\oint \vec{v} \cdot d\vec{s} = \oint \vec{U}_{\infty} \cdot d\vec{s} + \frac{1}{2\pi} \oint d\theta = 0 = \Gamma$, $\vec{v} = \text{grad } \varphi$

bo w pierwotnej części \vec{U}_{∞} – to stały wektor – mamy wyprawiac przed całką a $\oint d\theta = 0$ dla linii zamkniętej. Dalej: $\text{grad } \varphi \cdot d\vec{s} = d\varphi$. Pochodnicze potencjalne φ zmieniają się linią C_{∞} szybciej, niż $\frac{1}{r}$. A więc

iloczyn $\text{grad } \varphi \cdot d\vec{s}$ można oszacować tak: $|\text{grad } \varphi| \cdot d\vec{s}| < O(\frac{1}{r}) d\theta$.

Co eliminuje całkę rachunkową połączoną z całkami...

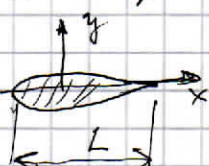
Cyrkulacja Γ jest zerem dla symetrycznego epilistu symetrycznego konturnego.

Sila nośna nie występuje. Opoźnienie jest.

Zauważmy, iż większość zjawisk wymiarowych – taki jest ruch – związane są WSPOŁCZYNNIKAMI SIĘ I NOŚNIĘ I OPORU.

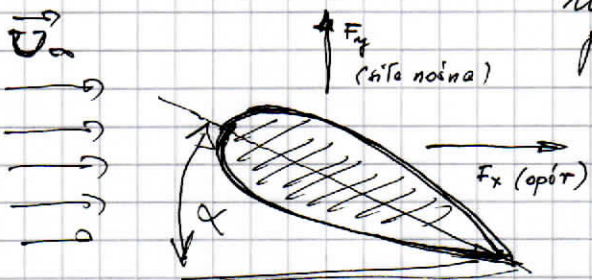
$$C_y = \frac{F_y}{\frac{\rho U_{\infty}^2 \cdot L \cdot 1}{2}}, C_x = \frac{F_x}{\frac{\rho U_{\infty}^2 \cdot L \cdot 1}{2}}$$

L to cięciwa, $\rho U_{\infty}^2/2$ nie wymaga wyjaśnienia, a jedynie to jakimkolwiek przeciwnie do przeciwnego ruchu...

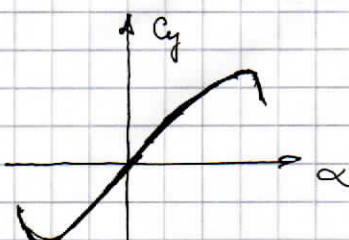
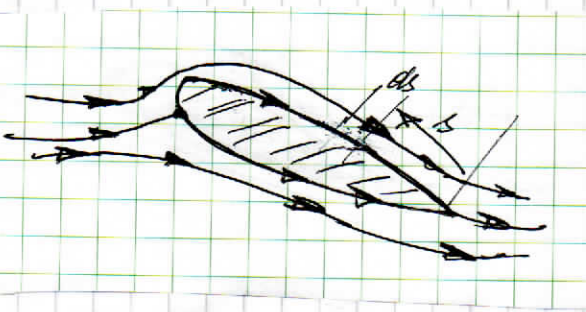


Rozważmy równoległe rozszczepienie konturu względem strumienia pędu. Rozważmy to dla symetrycznego profilu przed kątem w stosunku do wektora \vec{U} .

96/19



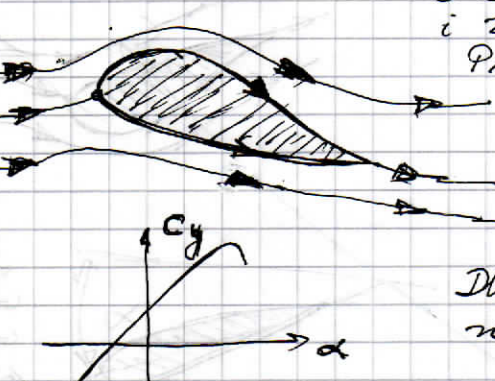
Wrost kąta (to kąt natarcia) powoduje zmianę asymetrii ruchu. Przykładem cyrkulacji.



Dla konturu symetrycznego jest podany nie różnic. Przy określaniu ciągu α (\sim poniżej 20°) następuje istotny wzrost obręgu obrotowego, ruchu przeciwnego i silne zaburzenie ruchu w nasłejnym okręgu konturu.

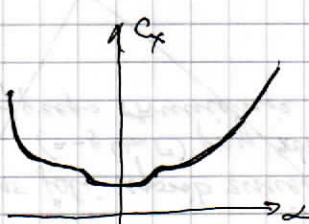
Ruch ten nie jest potencjalny (w nasłejnym okręgu...), i wyprowadzający F_y nie ma wartości. Sądź mimo to występuje różnicę prędkości α i przy dalszym jego zmianie pozostałości maleje. Opor F_x jest - oczywiście - zawsze dodatni.

Jego minimum zachodzi dla ruchu symetrycznego, tzn. dla $\alpha = 0$, przy którym pozostałości całkowitej i obrotowej obawy są zrównane.



Dla konturu nietymetrycznego minimum C_x i zero C_y występuje dla $\alpha = 0$. Przy takiej wartości - wobec asymetrii - oczywiście występuje różna masa. Brak bowiem symetrii... Minimum oporu jest obserwowane dla kąta natarcia bliskiego zero, przy którym występuje różna masa.

Dla specjalnych kształtów konturu C_x ma specyficzną zależność od kąta natarcia α .



Pojasnia to wiadomość obliczanie oporu (masy, nie dla maszyny średniorazowej α) wynikające z występowania dodatkowych występowania masy laminarnego w warstwie przyściennej.